

осная магнитная анизотропия в исследованных диспрозиевых Вс-МПФГ имеет ростовую природу, поскольку в толстых пленках ( $h \sim 100$  мкм) рассогласование параметров решеток пленки и подложки пренебрежимо мало, поэтому магнитоупругая составляющая магнитной анизотропии отсутствует.

Ширина линии ФМР  $2\Delta H$ , так же как и  $H_{\text{ex}}$ , монотонно уменьшается с температурой, исключая интервал ее значений вблизи температуры Нееля (рис. 2). По измеренным значениям ширины и интенсивности линии ФМР определяли температурную зависимость относительной величины намагниченности насыщения  $M_{\text{отв}}$  [8] (рис. 2). Видно, что в исследованном интервале температур зависимость  $M_{\text{отв}}(T)$  имеет максимум.

Таким образом, в данной работе показано, что эпитаксиальные Вс-МПФГ состава  $(\text{Dy}, \text{Bi})_3(\text{Fe}, \text{Ga})_5\text{O}_{12}$ , выращенные на подложках из  $(\text{Gd}, \text{Ca})_3(\text{Mg}, \text{Zr}, \text{Ga})_5\text{O}_{12}$  с ориентацией (111), обладают высокой односторонней магнитной анизотропией.

### Список литературы

- [1] Рандошкин В. В., Червоненкис А. Я. Прикладная магнитооптика. М.: Энергогатомиздат, 1990. 320 с.
- [2] Honda Y., Hibiya T., Shiroki K. // Jap. J. Magn. and Magn. Mater. 1986. V. 10. N 2. P. 151–154.
- [3] Рандошкин В. В., Чани В. И. // Тез. докл. VII Всес. конф. по росту кристаллов. М., 1988. Т. 2. С. 260–261.
- [4] Chani V. I. // Proc. SPIE. 1989. V. 1125. Paper 18.
- [5] Рандошкин В. В., Чани В. И., Червоненкис А. Я. // Письма в ЖТФ. 1986. Т. 12. № 11. С. 653–656.
- [6] Логинов Н. А., Рандошкин В. В., Цветкова А. А., Чани В. И. // ЖТФ. 1987. Т. 57. № 9. С. 1878–1881.
- [7] Элементы и устройства на цилиндрических магнитных доменах: Справочник / Под ред. Н. Н. Евтихиева, Б. Н. Наумова. М.: Радио и связь, 1987. С. 35.
- [8] Зюзин А. М., Рандошкин В. В., Телеснин Р. В. // ЖТФ. 1982. Т. 52. № 9. С. 1896–1898.

Институт общей физики АН СССР  
Москва

Поступило в Редакцию  
7 сентября 1990 г.

УДК 537.226

© Физика твердого тела, том 33, № 3, 1991  
Solid State Physics, vol. 33, N 3, 1991

## ВЛИЯНИЕ ПРИМЕСИ СЕЛЕНА НА ДИЭЛЕКТРИЧЕСКИЕ СВОЙСТВА СУЛЬФАТА АММОНИЯ

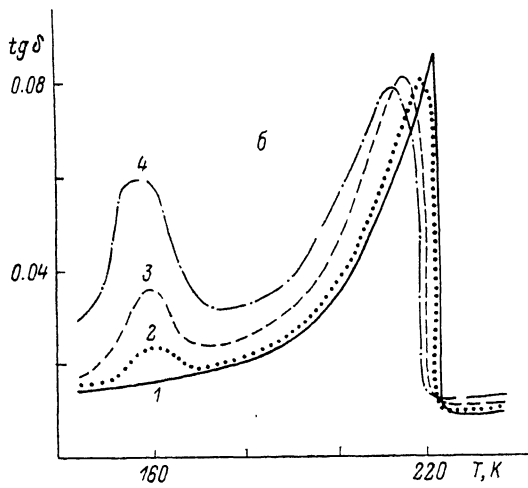
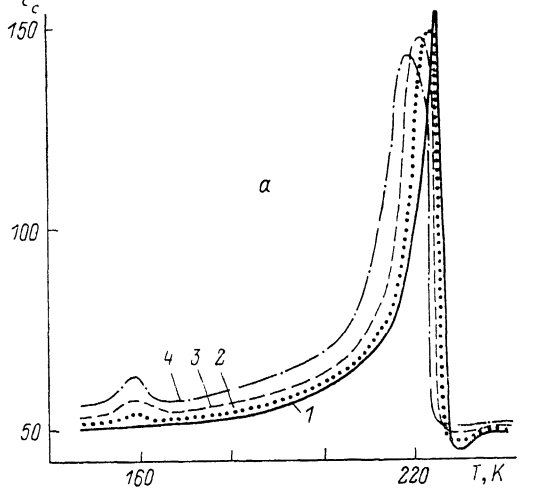
А. П. Шамшин, Л. Н. Пелих, Э. В. Матюшкин

Кристалл сульфата аммония  $(\text{NH}_4)_2\text{SO}_4$  (AC) претерпевает при температуре 223 К несобственный сегнетоэлектрический фазовый переход из параэлектрической фазы с пространственной группой  $D_{2h}^{16}$  в сегнетоэлектрическую фазу с пространственной группой  $C_{2v}^9$ . Изучена структура AC как в пара-, так и в сегнетоэлектрической фазах [1]. Элементарная ячейка при комнатной температуре содержит четыре формульных единицы, представляющих собой два неэквивалентных вида ионов аммония  $\text{NH}_4^+$ (I),  $\text{NH}_4^+$ (II) и одного вида иона сульфата  $\text{SO}_4^{2-}$  в обеих фазах. Несобственный сегнетоэлектрический переход в AC трактуется как переход молекулярно-дисторсионного типа. Ответственными за переход являются искажения в тетраэдрах  $\text{SO}_4^{2-}$ . Дисторсия тетраэдров  $\text{SO}_4^{2-}$  является параметром порядка [2].

Имеется ряд работ по изучению свойств AC в составе смешанных кристаллов типа  $\text{Me}_2\text{SO}_4-(\text{NH}_4)_2\text{SO}_4$  [3, 4], где  $\text{Me}=\text{Li}, \text{K}, \text{Rb}, \text{Cs}$ . Получено,

что замещение ионов с радиусами, близкими к радиусу иона аммония, ведет к существенному изменению свойств АС, таких как параметры ячейки, температурной зависимости спонтанной поляризации. С увеличением концентрации примеси меняется характер перехода, и при определенных концентрациях примеси сегнетоэлектрический ФП исчезает.

В настоящей работе исследована температурная зависимость диэлектрической проницаемости и тангенса угла диэлектрических потерь си-



Температурные зависимости диэлектрической проницаемости (а) и тангенса угла диэлектрических потерь (б) смешанных кристаллов  $(\text{NH}_4)_2\text{SO}_4(1-x)-(\text{NH}_4)_2\text{SeO}_4 \cdot x$ .  
 1 —  $(\text{NH}_4)_2\text{SO}_4$ , 2 —  $x=0.02$ , 3 —  $0.03$ , 4 —  $0.05$ .

системы смешанных кристаллов  $(\text{NH}_4)_2\text{SO}_4(1-x)-(\text{NH}_4)_2\text{SeO}_4 \cdot x$  с  $x=0.02$ ,  $0.03$ ,  $0.05$ ,  $0.1$ . Кристаллы выращивались методом спонтанной кристаллизации из водных растворов. Пересыщение достигалось медленным испарением растворителя. Точность поддержания температуры раствора была не хуже  $\pm 0.05$  К. Все кристаллы отжигались при температуре 373 К.

На рисунке приведены экспериментальные температурные зависимости диэлектрической проницаемости (а) и тангенса угла диэлектрических потерь (б) системы смешанных кристаллов сульфат—сelenат аммония. Измерения проводились на частоте 1000 Гц. Измерительное поле не превышало 10 В/см. Из этого рисунка видно, что введение даже небольшого количества примеси селена (порядка 2 моль %) в АС ведет к появлению но-

вой аномалии в зависимости  $\epsilon_c(T)$  и  $\operatorname{tg} \delta(T)$  при 160 К. При этом сегнетоэлектрические аномалии  $\epsilon_c(T)$  и  $\operatorname{tg} \delta(T)$  смещаются на 2—4 К в область более низких температур. Прямо пропорционально увеличению концентрации селена наблюдалось увеличение амплитуды низкотемпературной аномалии.

Причиной появления низкотемпературной аномалии диэлектрической проницаемости может быть то, что, как известно, сегнетоэлектрический ФП в АС является результатом дальнодействующего взаимодействия между молекулярными ионами. Согласно [2], в точке ФП изменения в длинах и углах связи O—S—O ведут к искажению тетраэдров  $\text{SO}_4^{2-}$  и снижению симметрии ионов  $\text{SO}_4^{2-}$  с  $C_s$ , в параэлектрической фазе до  $C_1$  в сегнетоэлектрической фазе. Структурные изменения, ответственные за переход, вызваны главным образом изменениями в межатомных расстояниях между S и O атомами иона  $\text{SO}_4^{2-}$ . При этом дисторсия тетраэдров, являющаяся первичным параметром порядка, ведет к изменению дипольного момента тетраэдра  $\text{SO}_4^{2-}$  и появлению  $P_g$  ниже  $T_g$ . Искажения ионов  $\text{NH}_4^+$  являются следствием искажения тетраэдров  $\text{SO}_4^{2-}$ . При понижении температуры до 160 К в линиях ядерного магнитного резонанса в АС появляется дополнительная острая линия изменяющейся ширины. Адсорбционная линия в связи с этим расщепляется на две хорошо разрешимые компоненты, одна из которых (широкая) связана с «замерзанием» движения внутри иона аммония  $\text{NH}_4^+(I)$ , а другая (узкая) — с его быстрой переориентацией как целого [5]. При 93 К происходит «замерзание» иона  $\text{NH}_4^+(II)$ .

Введение тяжелого иона селена с радиусом, превышающим радиус иона серы, ведет к «разрыхлению» тетраэдра  $\text{SO}_4^{2-}$ , меняется его дипольный момент в сегнетоэлектрической фазе, изменяется величина спонтанной поляризации кристалла. Примесный ион селена влияет на динамику решетки. Появление дополнительной аномалии в температурной зависимости диэлектрической проницаемости АС может быть связано с тем, что селен влияет на свойства ионов  $\text{NH}_4^+(I)$  в точке, где происходят «замерзание» и переориентация этих ионов. Увеличение концентрации селена увеличивает величину низкотемпературной аномалии  $\epsilon_c(T)$ ,  $\operatorname{tg} \delta(T)$ . Тогда низкотемпературную аномалию можно рассматривать как новый структурный переход, индуцируемый примесью селена.

#### Список литературы

- [1] Schlemp E. O., Hamilton W. C. // J. Chem. Phys. 1976. V. 44. N 12. P. 4498—4509.
- [2] Jain Y. S., Bajpai P. K., Brattacharjee R., Chowdhury D. // J. Phys. C: Sol. St. Phys. 1986. V. 19. P. 3789—3796.
- [3] Sawada A., Ohya S., Ishilashi I., Takagi I. // J. Phys. Soc. Jap. 1975. V. 38. N 5. P. 1408—1414.
- [4] Ohi K., Osaka J., Uno H. // J. Phys. Soc. Jap. 1978. V. 44. N 2. P. 529—536.
- [5] Blinc R., Levstek I. // J. Phys. Chem. Solids. 1960. V. 21. N 3. P. 295—303.

Харьковский институт  
инженеров железнодорожного транспорта

Поступило в Редакцию  
16 апреля 1990 г.  
В окончательной редакции  
10 сентября 1990 г.